

А.Д. Букин

КРИТЕРИЙ  $\chi^2$  ДЛЯ РАСПРЕДЕЛЕНИЯ ПУАССОНА

ИЯФ 97-104

Новосибирск

1997

Институт ядерной физики им. Г.И.Будкера  
Новосибирск, 630090

**Аннотация**

В работе рассматриваются несколько вариантов использования критерия  $\chi^2$  для статистики Пуассона и исследуются границы их применимости при уменьшении математического ожидания числа событий.

**$\chi^2$  Criteria for Poisson Statistics**

A.D. Bukin

Budker Institute of Nuclear Physics  
630090 Novosibirsk, Russia

**Abstract**

In the paper some variants of  $\chi^2$  criteria application for Poisson statistics are considered. Limits of their applicability are investigated for decreasing mean value of the number of events.

## 1. Введение

При математической обработке результатов экспериментов наиболее часто для проверки согласия теории и эксперимента применяется критерий  $\chi^2$  [1] в силу своей простоты и универсальности. Однако, довольно часто при обработке эксперимента статистика отсчётов мала, и критерий  $\chi^2$  становится неприменимым. Типичный пример — аппроксимация экспериментальных данных в диапазоне энергий вблизи резонанса при низком уровне фона. Тогда очевидный приём суммирования близких точек по энергии до достижения статистики в каждой точке, приемлемой для применения критерия  $\chi^2$ , не всегда подходит, так как для этого может требоваться суммирование событий в точках, существенно удалённых по энергии. С другой стороны, жаль отказываться от применения критерия  $\chi^2$  по причине недостаточной статистики на "хвостах" резонанса, тогда как большая часть точек вблизи массы резонанса может вполне удовлетворять критерию применимости  $n \gg 1$ .

В такой ситуации для проверки степени согласия теории и эксперимента можно действовать в двух направлениях: или воспользоваться другим критерием согласия, или ввести модифицированную функцию  $\chi^2$  такую, чтобы полученная величина соответствовала стандартному распределению вероятностей  $\chi^2$ .

В данной работе исследуется второй путь: рассматривается несколько вариантов модификации  $\chi^2$  и исследуются границы применимости к ним стандартного распределения  $\chi^2$  при малых значениях математического ожидания.

## 2. Выбор вариантов модификации $\chi^2$

Рассмотрим несколько вариантов модификации  $\chi^2$  при малой статистике отсчётов с целью изучить границы применимости стандартного распределения  $\chi^2$ . Будем обозначать математическое ожидание числа событий как  $p$ , предполагая справедливость распределения Пуассона

$$W_n = \frac{p^n}{n!} e^{-p}, \quad p > 0, \quad n = 0, 1, \dots \infty \quad (1)$$

Во всех вариантах модификации  $\chi^2$  будем использовать только те выражения, которые при большой статистике асимптотически стремятся к правильному виду  $\chi^2$  для распределения Пуассона для одной степени свободы:

$$\chi^2 = \frac{(n - p)^2}{p}, \quad \text{при } p \gg 1 \quad (2)$$

Первые два варианта для вычисления  $\chi^2$  (по-видимому, совершенно неудовлетворительные при малой статистике) возьмём в том виде, как для гауссова распределения, с ошибками, оцениваемыми независимо от теоретической модели только по числу событий  $n$ , без привлечения математического ожидания  $p$ .

1.  $\chi_1^2 = \frac{(n - p)^2}{n + 1}$ , ошибка измерения в каждой точке оценена, как  $\sigma = \sqrt{n + 1}$ .

ошибку измерения  $\sigma = \sqrt{n}$  невозможно, так как в тех случаях, когда  $n = 0$ , придётся делить на ноль.

3.  $\chi_3^2 = \frac{(n-p)^2}{p}$ . Этот вариант хорош тем, что обеспечивает правильное значение среднего  $\langle \chi_3^2 \rangle = 1$  при всех значениях  $p$ , однако, дисперсия  $D(\chi_3^2) = 2 + 1/p$ , что при малых значениях  $p$  сильно отличается от правильного значения  $D(\chi^2) = 2$ .

4.  $\chi_4^2 = 2 \cdot [p - n + n \log(n/p)]$ . Это выражение является популярной записью логарифмической функции правдоподобия для пуассонова распределения [2–4]. Это выражение привлекает тем, что при своей простоте оно в пределе  $p \rightarrow \infty$  переходит в асимптотическое выражение (2), к тому же оно используется в оптимизируемой логарифмической функции правдоподобия.

$$5. \chi_5^2 = 2 \cdot \left[ p - n \ln p + \begin{cases} 0, & \text{при } n = 0 \\ \ln(n!) - 0.5 \ln(2\pi n), & \text{при } n > 0 \end{cases} \right]$$

Это выражение также может быть использовано для записи логарифмической функции правдоподобия и также переходит в правильное выражение для  $\chi^2$  при большой статистике.

6. Следующий вариант  $\chi_6^2$  получим из  $\chi_3^2$  введением таких поправок, которые обеспечивают правильное значение дисперсии 2 и среднего 1.

$$\chi_6^2 = \frac{(n-p)^2}{\sqrt{p(p+0.5)}} + \frac{1}{2p+1+\sqrt{2p(2p+1)}} \quad (3)$$

7. Наконец, последний вариант  $\chi_7^2$  получим из  $\chi_4^2$  введением аналогичных поправок с целью получения правильных дисперсии и среднего. Однако, ситуация здесь усложняется тем, что такая операция может быть проделана только численно в ограниченном интервале  $p$ . Поправку будем искать в виде

$$\chi_7^2 = F_1(p)\chi_4^2 + F_2(p) \quad (4)$$

в два приёма. Вначале получим множитель  $F_1(p)$  в виде

$$F_1(p) = \frac{p^2 + ap + b + c \cdot \ln p + d \cdot \ln^2 p}{g + p^2 + h \cdot \ln p + r \cdot \ln^2 p} \quad (5)$$

методом наименьших квадратов (дисперсия  $D(\chi_7^2)$  не зависит от  $F_2(p)$ ). Численной минимизацией суммы квадратов отклонений функции  $F_1(p)$  от требуемых значений в одиннадцати точках в интервале  $p \in (0.01, 10)$  (логарифмически равномерно распределённых) получены значения коэффициентов

$$\begin{aligned} a &= -0.8991, & b &= 1.318, & c &= 0.548, & d &= 0.1308, \\ g &= 0.1684, & h &= -9.09 \cdot 10^{-2}, & r &= 1.0 \cdot 10^{-2} \end{aligned} \quad (6)$$

Затем аналогичным приёмом получена аппроксимация функции  $F_2(p)$  в виде

$$F_2(p) = \frac{s + t \cdot \ln p + u \cdot \ln^2 p}{p^2 + x \cdot \ln^2 p + y} \quad (7)$$

с коэффициентами

$$\begin{aligned} s &= -0.5543, & t &= 9.338 \cdot 10^{-2}, & u &= 0.2174 \\ x &= 0.1878, & y &= 0.4273 \end{aligned} \quad (8)$$

Очевидно, что при  $p \ll 0.01$  значения дисперсии и среднего для  $\chi_7^2$  будут принимать значения, далёкие от правильных, однако, применение критерия  $\chi^2$  в этой области значений  $p$  выглядит очень искусственным.

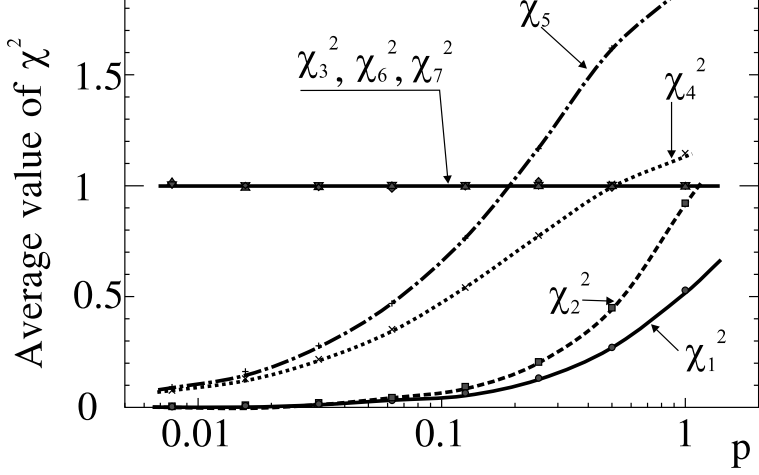


Рис. 1: Среднее значение  $\chi^2$  при одной степени свободы для нескольких вариантов модификации  $\chi^2$  при малом параметре  $p$  пуссонова распределения

На рис. 1 приведена зависимость среднего значения для всех перечисленных здесь модификаций  $\chi^2$  для переменной, распределённой по закону Пуассона со средним значением  $p$ , в интервале  $p \in (0.01, 1)$ .

Аналогично, рис. 2 демонстрирует зависимость дисперсии этих величин от  $p$ . Напомним, что здесь весь анализ  $\chi^2$  проводился с одной степенью свободы — в случае нескольких степеней свободы значения среднего и дисперсии складываются. Несмотря на то, что для некоторых вариантов вычисления  $\chi^2$  дисперсия и среднее могут быть вычислены аналитически, на рисунках представлены единообразные результаты численных расчётов методом Монте-Карло с генерацией псевдослучайных чисел, распределённых по закону Пуассона (статистика равна  $10^6$  событий).

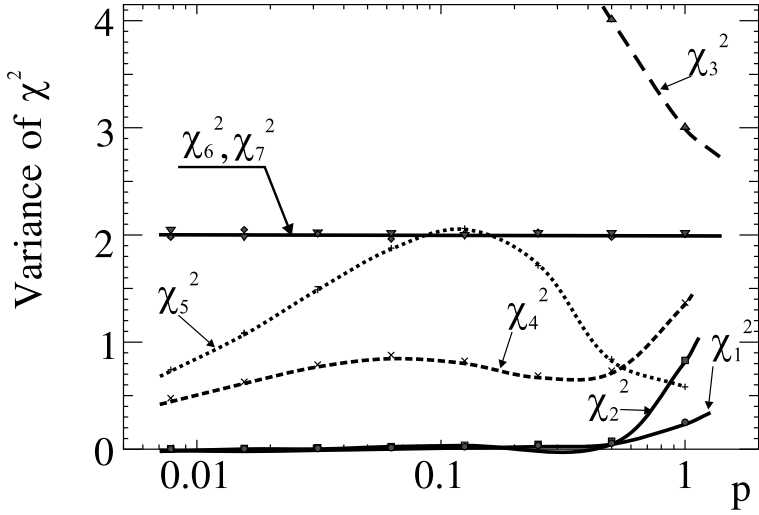


Рис. 2: Значение дисперсии  $\chi^2$  при одной степени свободы для нескольких вариантов модификации  $\chi^2$  при малом параметре  $p$  пуссонова распределения

Последний вариант  $\chi_7^2$  выглядит несколько громоздким. Очевидно, это обусловлено стремлением обеспечить асимптотический переход к правильным значениям дисперсии и среднего при  $p \rightarrow \infty$ , а также конечное значение поправочных функций  $F_1$  и  $F_2$  при  $p \rightarrow 0$ .

Применимость критерия  $\chi^2$  для экспериментальных данных, подчиняющихся закону распределения вероятностей Пуассона, хорошо видна из рис. 1 и 2. Там же можно увидеть, какие варианты модификации  $\chi^2$  более предпочтительны при математическом ожидании числа событий  $p$  порядка или меньше единицы. Например, при  $p = 0.1$  средний вклад каждой степени свободы для варианта вычисления  $\chi^2_4$  уже в два раза меньше стандартного, а вклад в дисперсию этого варианта в два раза меньше стандартного уже при  $p = 0.7$ .

При проверке применимости критерия  $\chi^2$  в случае распределения Пуассона следует иметь в виду, что желательно выполнение соотношения  $p \cdot n_D >> 1$  (произведение параметра распределения Пуассона на число степеней свободы), иначе в распределении по  $\chi^2$  только несколько дискретных значений  $\chi^2$  являются значимыми, и сравнивать полученное дискретное распределение по  $\chi^2$  со стандартным непрерывным распределением становится затруднительным.

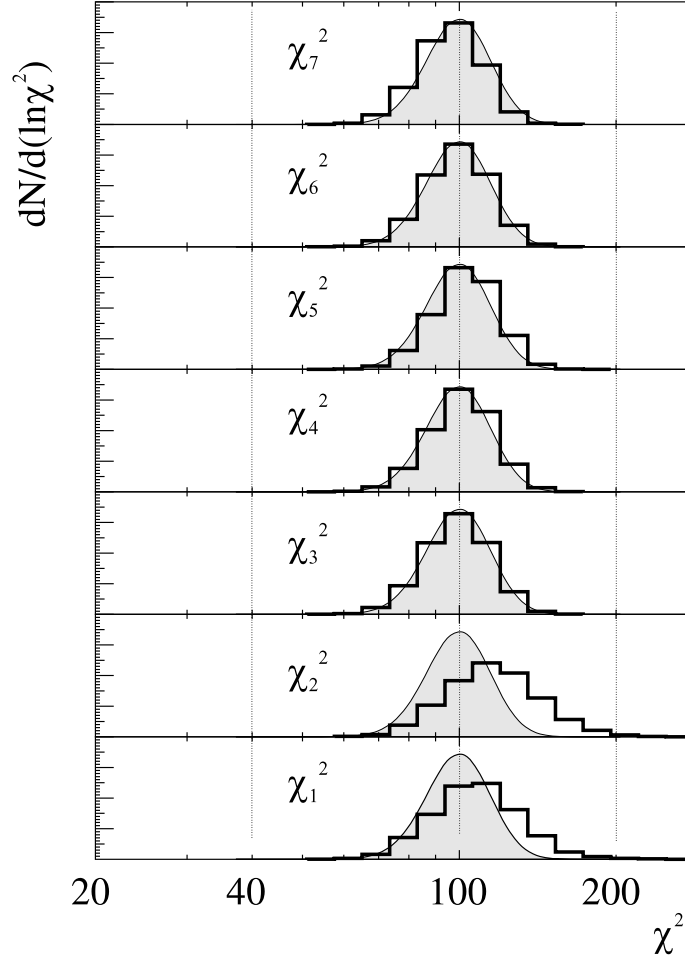


Рис. 3: Распределение по  $\chi^2$  событий с числом степеней свободы  $n_D = 100$ ,  $p = 10$ . Сплошная кривая — стандартное распределение  $\chi^2$ .

Значения среднего и дисперсии, естественно, не полностью определяют распределение вероятностей по  $\chi^2$ . К сожалению, провести какие-либо исследования общего характера представляется затруднительным, однако, можно привести несколько иллюстраций, как трансформируется распределение вероятностей при нескольких значениях параметра  $p$ . Начнём сравнение распределений по  $\chi^2$  для перечисленных модификаций  $\chi^2$  при значении параметра  $p = 10$ , когда распределение Пуассона хорошо описывается распределением Гаусса с соответствующими параметрами и критерий  $\chi^2$  вполне применим. Далее будем уменьшать значение параметра  $p$  и следить за трансформацией распределений по  $\chi^2$  во всех вариантах модификации  $\chi^2$ . Для того, чтобы можно было продви-

каждой гистограмме  $10^4$ . Рис. 3 демонстрирует распределение событий по  $\chi^2$  для семи вариантов модификации  $\chi^2$ . Видно, что распределения по  $\chi_1^2$  и  $\chi_2^2$  достаточно медленно приближаются к асимптотическому и даже при  $p = 10$  ещё заметно отличаются от стандартного распределения.

Посмотрим, что изменится в этих распределениях при  $p = 1$  (рис. 4). Уже при таком умеренном значении  $p$  распределения разошлись и стали более различимы. Наилучшее совпадение остаётся у  $\chi_6^2$  и  $\chi_7^2$ .

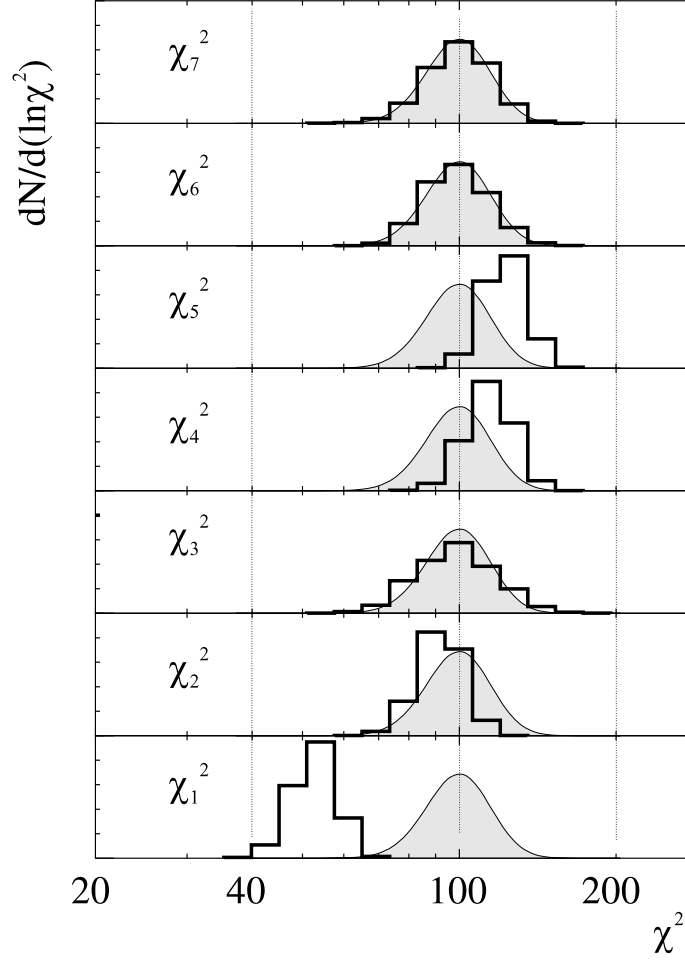


Рис. 4: Распределение по  $\chi^2$  событий с числом степеней свободы  $n_D = 100$ ,  $p = 1$ . Сплошная кривая — стандартное распределение  $\chi^2$ .

На следующем рисунке 5 значение  $p$  выбрано существенно меньше 1 ( $p = 0.1$ ). Многие распределения здесь вообще не перекрываются со стандартным, поэтому ошибка в оценке  $P(\chi^2)$  получается значительной. Так как для проверки совместимости теории и экспериментальных данных используется величина  $P(\chi^2)$ , то удобнее наблюдать отличия каждого из распределений от стандартного по графику следующего типа. Для каждого значения  $\chi^2$  точка графика для  $i$ -ой модели  $\chi_i^2$  имеет абсциссу, равную  $P(\chi^2)$ , рассчитанную по стандартному распределению, а ординату, равную  $P(\chi_i^2)$ , рассчитанную по распределению  $\chi_i^2$ . Графики такого типа приведены на рис. 6, 7, 8, 9, 10 и 11 для значений  $p = 4; 2; 1; 0.5; 0.2$  и  $0.1$ , соответственно. Уже при умеренных  $p \sim 1$  наблюдаются значительные отклонения интегральных распределений вероятности для вариантов вычисления  $\chi_1^2, \chi_2^2, \chi_4^2$  и  $\chi_5^2$ . Наилучшими приближениями остаются  $\chi_3^2, \chi_6^2$  и  $\chi_7^2$ . Неожиданным в этом выводе является то, что вариант  $\chi_4^2$  оказался заметно хуже, чем  $\chi_3^2$  в этой переходной области параметра  $p$ .

В области малых значений параметра  $p \ll 1$  из этих рисунков однозначно следует, что наименьшие отклонения от стандартного распределения по  $\chi^2$  имеют варианты вычисления  $\chi_6^2$  и  $\chi_7^2$ , предложенные в данной работе.

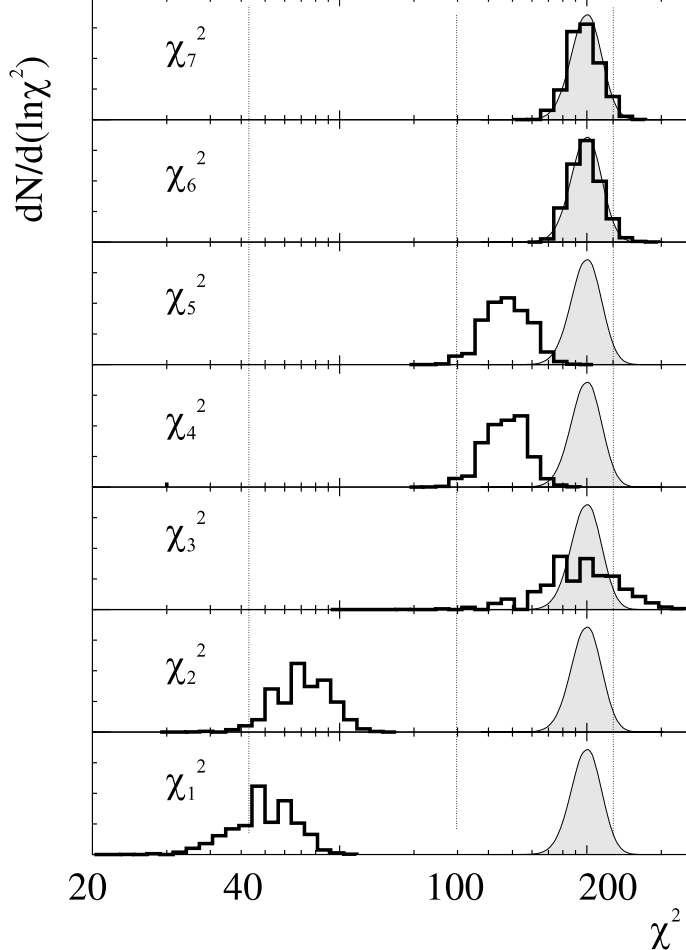


Рис. 5: Распределение по  $\chi^2$  событий с числом степеней свободы  $n_D = 100$ ,  $p = 0.1$ . Сплошная кривая — стандартное распределение  $\chi^2$ .

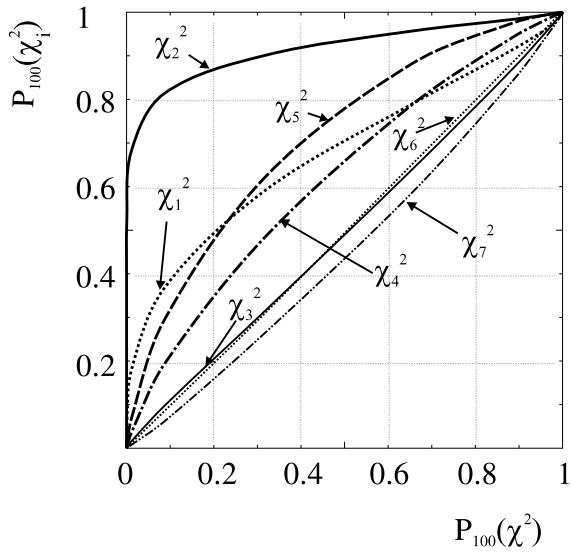


Рис. 6: Графики зависимости  $P_{100}(\chi_i^2)$  от  $P_{100}(\chi^2)$ . Число степеней свободы  $n_D = 100$ ,  $p = 4$ .

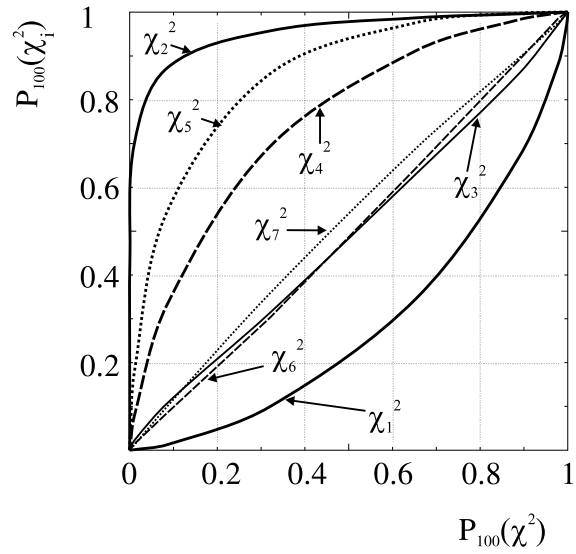


Рис. 7: Графики зависимости  $P_{100}(\chi_i^2)$  от  $P_{100}(\chi^2)$ . Число степеней свободы  $n_D = 100$ ,  $p = 2$ .

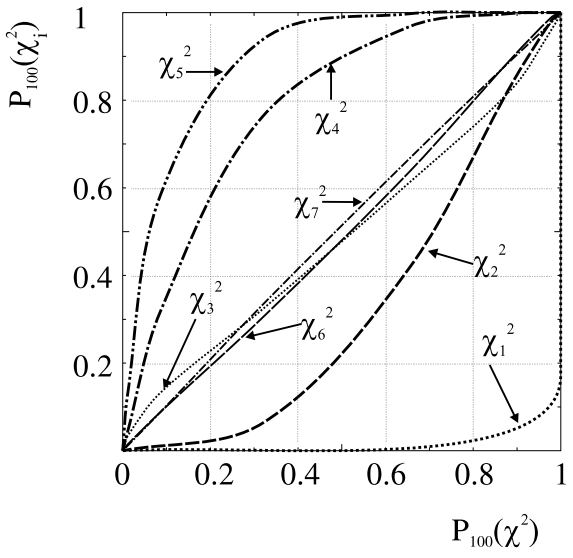


Рис. 8: Графики зависимости  $P_{100}(\chi_i^2)$  от  $P_{100}(\chi^2)$ . Число степеней свободы  $n_D = 100$ ,  $p = 1$ .

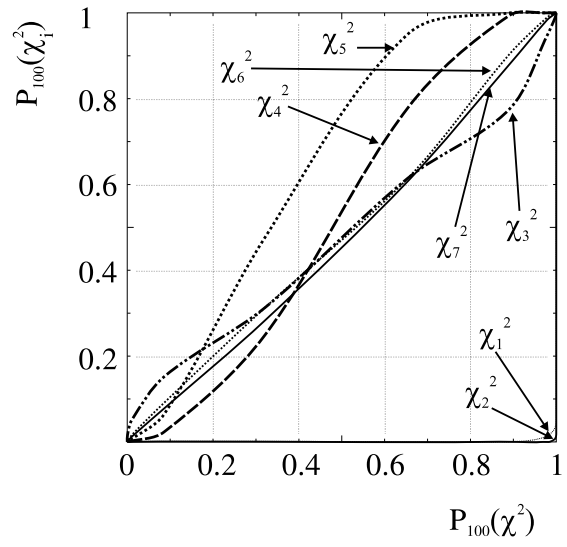


Рис. 9: Графики зависимости  $P_{100}(\chi_i^2)$  от  $P_{100}(\chi^2)$ . Число степеней свободы  $n_D = 100$ ,  $p = 0.5$ .

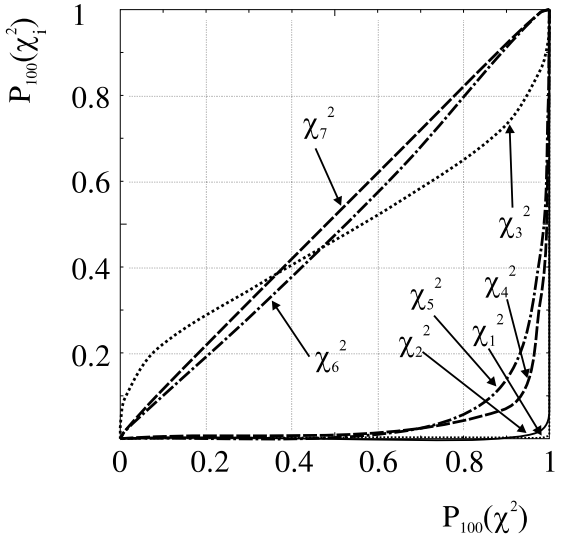


Рис. 10: Графики зависимости  $P_{100}(\chi_i^2)$  от  $P_{100}(\chi^2)$ . Число степеней свободы  $n_D = 100$ ,  $p = 0.2$ .

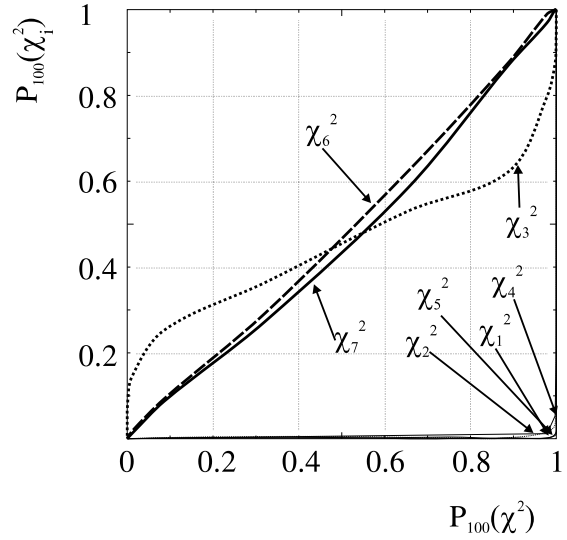


Рис. 11: Графики зависимости  $P_{100}(\chi_i^2)$  от  $P_{100}(\chi^2)$ . Число степеней свободы  $n_D = 100$ ,  $p = 0.1$ .

оставим только варианты  $\chi_6^2$  и  $\chi_7^2$ . Будем уменьшать постепенно количество степеней свободы. На рис. 12 количество степеней свободы  $n_D = 50$ , при этом уже  $p \cdot n_d = 5$ . Дискретность распределений

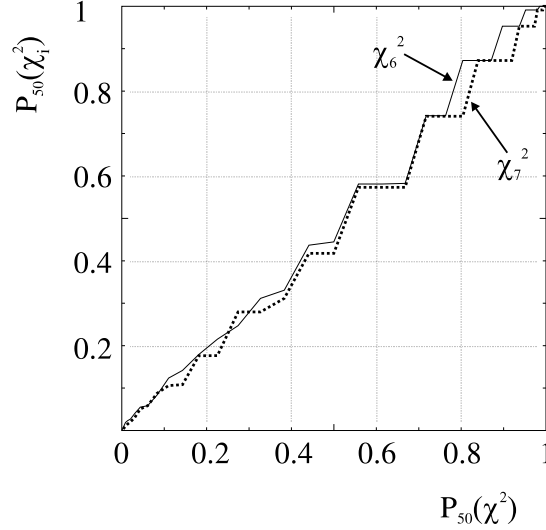


Рис. 12: Графики зависимости  $P_{50}(\chi_i^2)$  от  $P_{50}(\chi^2)$ . Число степеней свободы  $n_D = 50$ ,  $p = 0.1$ .

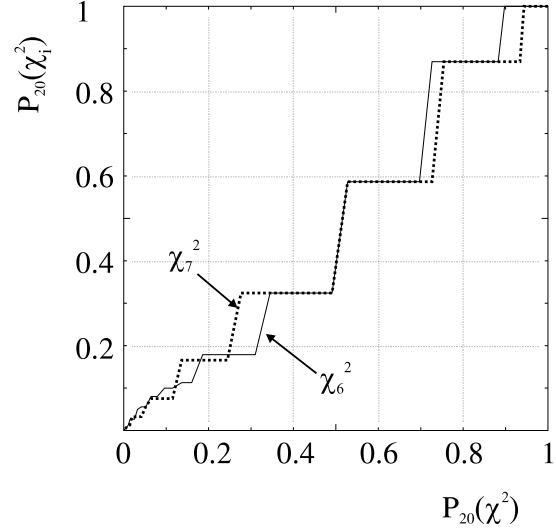


Рис. 13: Графики зависимости  $P_{20}(\chi_i^2)$  от  $P_{20}(\chi^2)$ . Число степеней свободы  $n_D = 20$ ,  $p = 0.1$ .

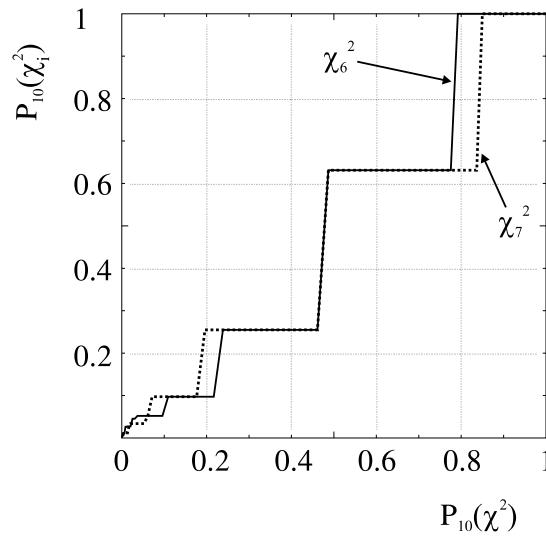


Рис. 14: Графики зависимости  $P_{10}(\chi_i^2)$  от  $P_{10}(\chi^2)$ . Число степеней свободы  $n_D = 10$ ,  $p = 0.1$ .

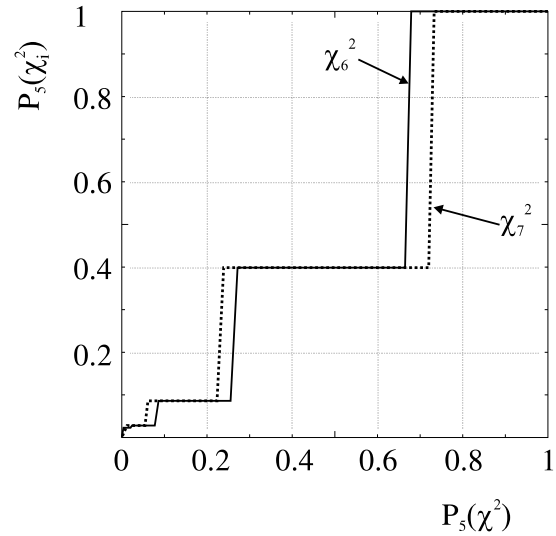


Рис. 15: Графики зависимости  $P_5(\chi_i^2)$  от  $P_5(\chi^2)$ . Число степеней свободы  $n_D = 5$ ,  $p = 0.1$ .

по  $\chi_6^2$  и  $\chi_7^2$  отчётливо проявляется в виде точек излома кривых. На последующих рисунках 13, 14 и 15, с количеством степеней свободы, соответственно, равным 20, 10 и 5, это явление проявляется всё более ярко. Очевидно, что нельзя поставить точного предела по параметру  $p$  или количеству степеней свободы, выше которого критерий  $\chi^2$  применять можно, а в области ниже этого предела совершенно нельзя. Однако, приведённые иллюстрации позволяют сказать, что в области значений  $p > 0.1$  и  $p \cdot n_D > 5$  модификации  $\chi_6^2$  и  $\chi_7^2$  позволяют применять стандартные значения  $P_{nD}(\chi^2)$  для оценки согласия теории и эксперимента без существенных систематических ошибок.

До сих пор мы интересовались, насколько соответствует распределение по новым переменным  $\chi^2$  стандартному распределению при использовании правильного значения  $p$ . С другой стороны, при проверке согласия экспериментальных данных теоретической модели не менее важен вопрос, насколько чувствителен данный критерий к неправильному значению  $p$ . К сожалению, ответ на такой вопрос неоднозначен и сильно зависит от того, сколько степеней свободы в распределении  $\chi^2$  и в какой области значений  $p$  проводятся исследования.

Всё же можно иллюстрировать чувствительность распределения по  $\chi^2$  в нескольких случаях при  $p \ll 1$ . Возьмём случай  $n_D = 100$  (число степеней свободы). На рис. 16 сплошной кривой изображено стандартное распределение по  $\chi^2$  при таком числе степеней свободы, закрашенной гистограммой — распределение по  $\chi_6^2$  при правильном значении  $p = 0.1$  и две гистограммы распределения по  $\chi_6^2$  при существенно неправильных оценках  $p = 0.05$  и  $p = 0.2$  (при генерации событий методом Монте-Карло всегда использовалось значение  $p = 0.1$ ).

На следующем рисунке 17 так же демонстрируется чувствительность параметра  $\chi_7^2$ .

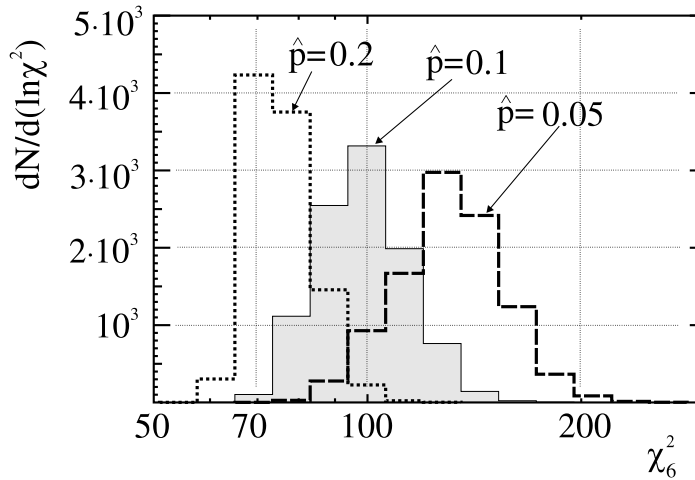


Рис. 16: Чувствительность критерия  $\chi^2$  при количестве степеней свободы  $n_D = 100$  для варианта вычисления  $\chi^2 = \chi_6^2$  при малом параметре  $p = 0.1$  пуссонова распределения

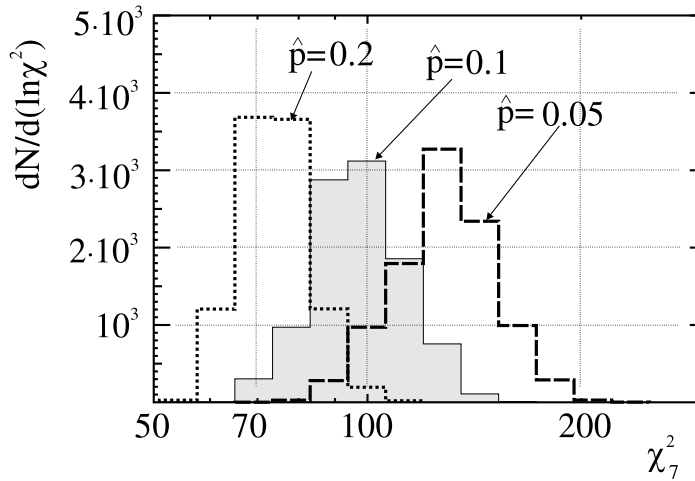


Рис. 17: Чувствительность критерия  $\chi^2$  при количестве степеней свободы  $n_D = 100$  для варианта вычисления  $\chi^2 = \chi_7^2$  при малом параметре  $p = 0.1$  пуссонова распределения

В работе проверены пределы применимости критерия  $\chi^2$  согласия экспериментальных данных с теорией для нескольких вариантов вычисления величины  $\chi^2$  при математическом ожидании  $p$  числа экспериментальных событий порядка или меньше единицы, где распределение вероятностей Пуассона существенно отличается от распределения Гаусса, которое, строго говоря, необходимо для правильного использования критерия  $\chi^2$ .

В результате анализа получено, что уже при  $p \sim 1$  предпочтительнее использовать предложенные в данной работе варианты модификации  $\chi_6^2$  и  $\chi_7^2$ , которые обеспечивают правильное значение среднего и дисперсии  $\chi^2$ . Вычисленные таким образом значения  $\chi^2$  дают больше оснований использовать стандартные значения вероятностей  $P(\chi^2)$  для заданного числа степеней свободы. Особенно просто выглядит выражение для  $\chi_6^2$ , которое, кстати, обеспечивает правильные значения среднего и дисперсии при всех возможных значениях  $0 < p < \infty$ :

$$\chi_6^2 = \frac{(n - p)^2}{\sqrt{p(p + 0.5)}} + \frac{1}{2p + 1 + \sqrt{2p(2p + 1)}}$$

где  $n$  — количество экспериментальных событий,  $p$  — математическое ожидание числа событий, определяемое теорией.

## Литература

- [1] Д.Худсон. Статистика для физиков. Пер. с английского. М: "Мир", 1970.  
Г.Корн и Т.Корн. Справочник по математике для научных работников и инженеров. М: "Наука", 1973.
- [2] А.Л.Букин.  $\phi$ -мезон: прецизионное измерение массы, наблюдение  $\omega - \phi$  интерференции. Канд. дисс., Новосибирск, 1978
- [3] S.Baker and R.Cousins. Clarification of the Use of Chi-square and Likelihood Functions in Fits to Histograms. Nuclear Instruments and Methods 221(1984) 437–442
- [4] Particle Data Group. Review of Particle Physics. Parts I and II. Physical Review D, Particles and Fields, v.54, 1996.